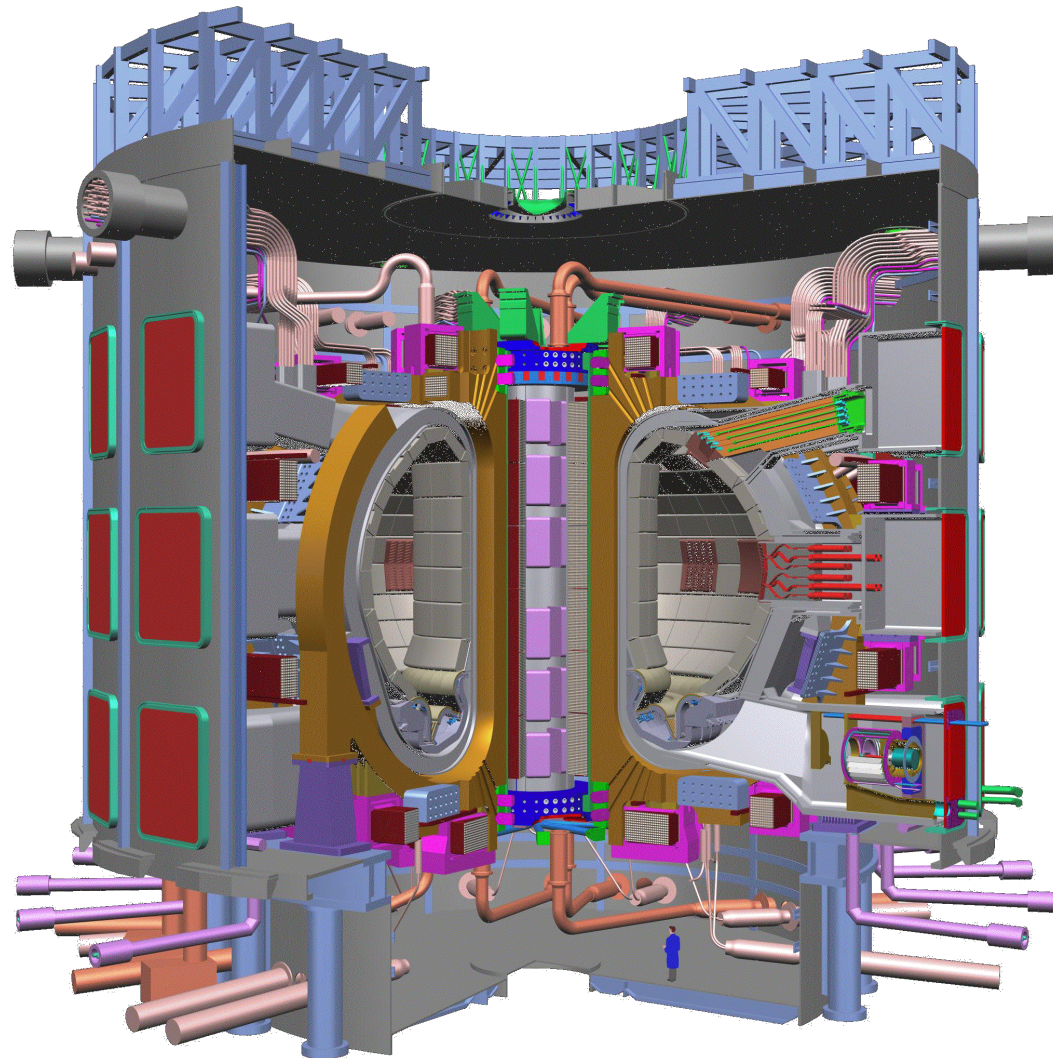


Ein (Tokamak-) Fusionsreaktor



Wolfgang Suttrop, Max-Planck-Institut für Plasmaphysik, Garching

Inhalt

- Was bestimmt die Auslegung (Größe, technische Parameter ...)?
 - Zündung (bzw. Energieverstärkung)
 - Einschluß-Qualität
 - Magnetfeld-Erzeugung
 - Stabilität

Lawson-Kriterium

Positive Leistungsbilanz für die Selbstheizung eines Fusionskraftwerks:

$$\underbrace{n_D n_T \langle \sigma v \rangle_{DT} E_\alpha}_{\text{Fusionsleistung } P_{\text{fus}}} \geq \underbrace{C_{\text{Br}} Z_{\text{eff}} n_e^2}_{\text{Bremsstrahlung } P_{\text{Br}}} + \underbrace{\frac{3}{2} \frac{n_g T}{\tau_E}}_{\text{Wärmeleitung } P_L} + \underbrace{\ell_Z(T) n_e n_Z}_{\text{Verunreinigungsstrahlung } P_{\text{rad}}}$$

wobei:

$$n_g = n_e + n_D + n_T + n_{\text{He}} + n_Z:$$

Gesamte Teilchendichte im Plasma

$$n_{\text{He}} \equiv f_{\text{He}} n_e: \text{Helium-Dichte}$$

(“Fusions-Asche”)

$$n_Z \equiv f_Z n_e: \text{Dichte der strahlenden}$$

Verunreinigung,

z.B. Metall aus der Wand

τ_E Einschlusszeit [s]

Seien

T_k : zentrale Temperatur in keV

n_{20} : Dichten in 10^{20} m^{-3}

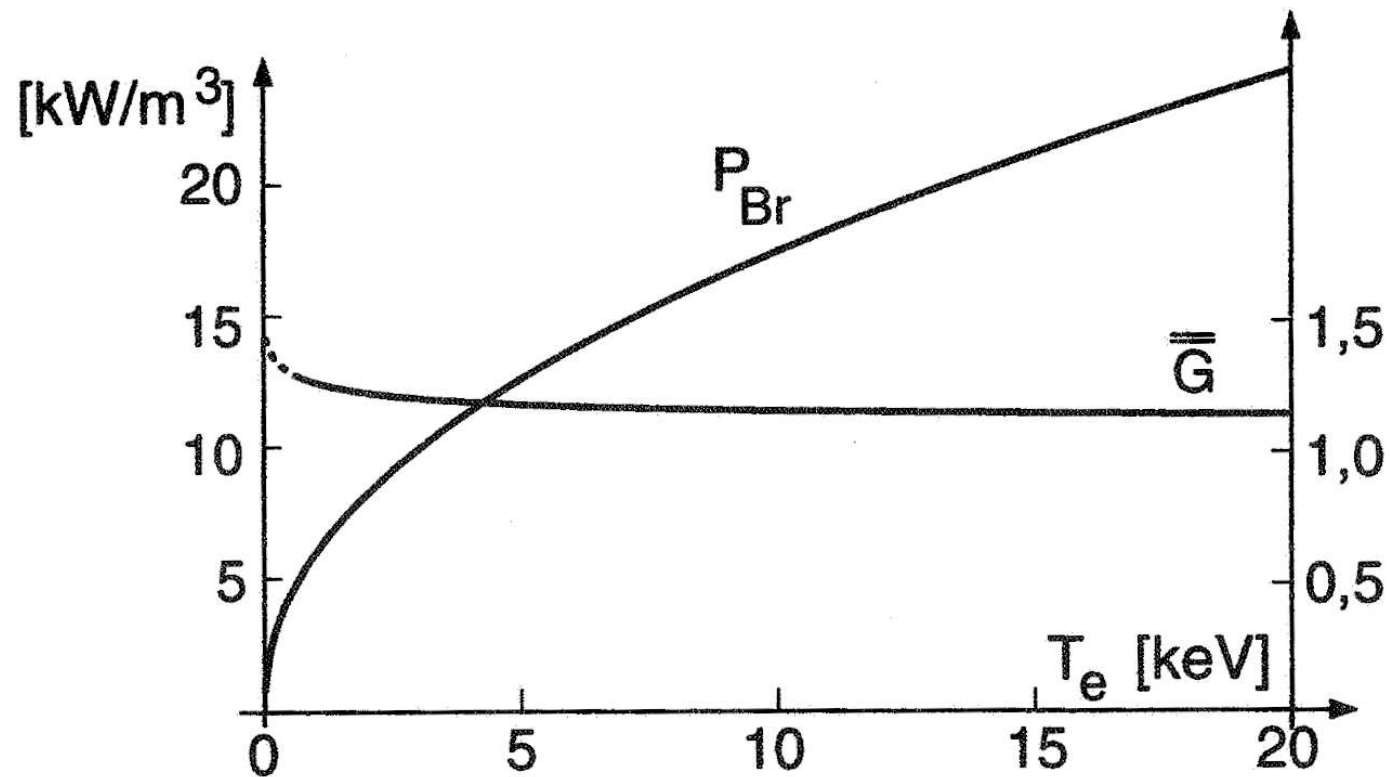
→ Zahlenwerte:

$$\langle \sigma v \rangle_{DT} = 1.1 \times 10^{-24} T_k^2 \left[\frac{\text{m}^3}{\text{s}} \right]$$

$$P_{\text{fus}} \sim 6200 n_{D,20} n_{T,20} \left[\frac{\text{W}}{\text{m}^3} \right]$$

$$P_L \sim 16020 \frac{3}{2} n_{g,20} T_k / \tau_E \left[\frac{\text{W}}{\text{m}^3} \right]$$

Bremsstrahlung

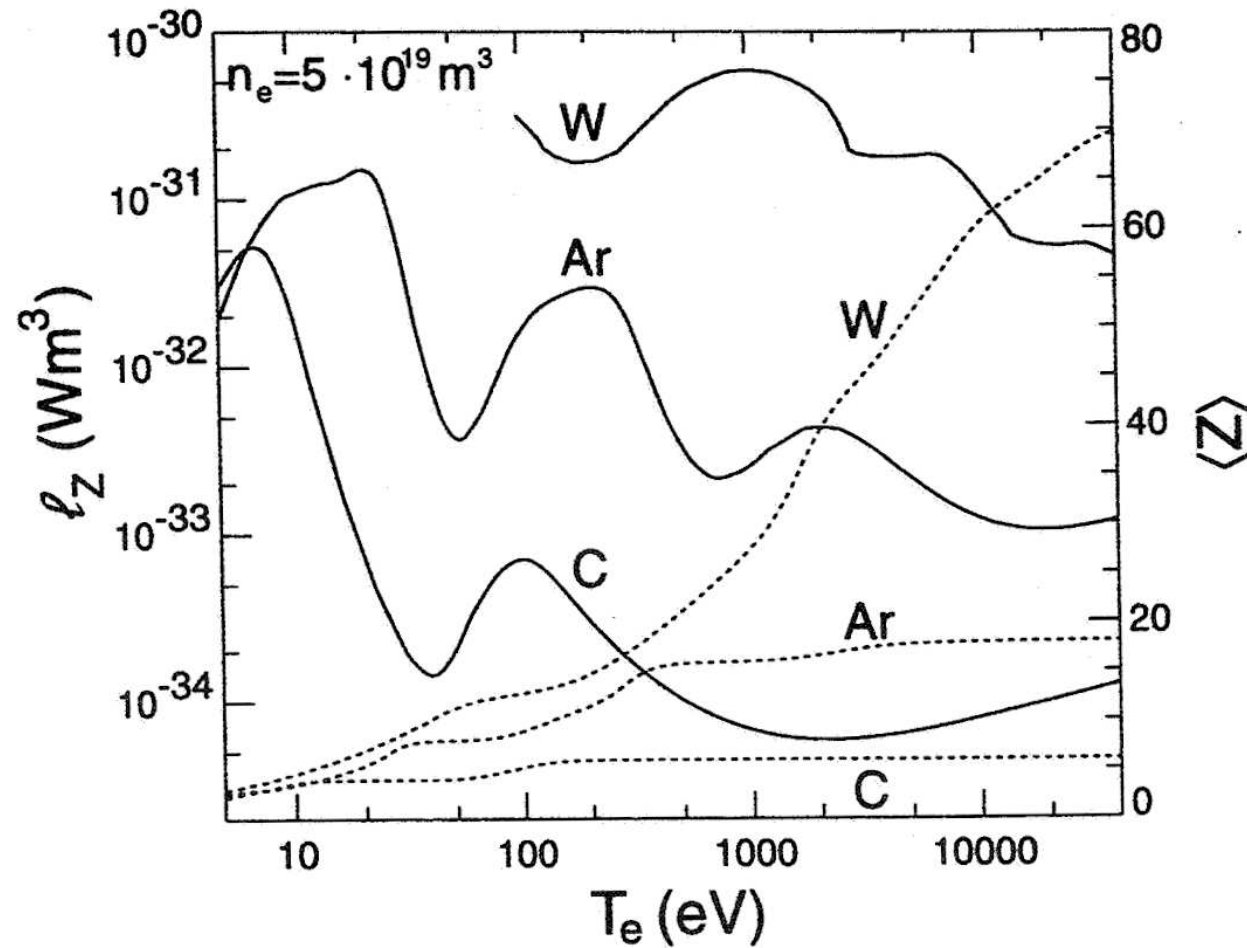


aus: M Kaufmann, Plasmaphysik und Fusionsforschung, Teubner 2003

$$P_{Br} \sim 4850 n_{e,20}^2 T_k^{1/2} \bar{G} Z_{\text{eff}} \left[\frac{\text{W}}{\text{m}^3} \right]$$

Der “Gaunt”-Faktor \bar{G} beschreibt die Abweichung der klassisch berechneten Strahlung vom (korrekten) quantenmechanischen Resultat. Hier ist die Abweichung nicht groß und daher $\bar{G} \approx 1$.

Verunreinigungsstrahlung



aus: M Kaufmann, Plasmaphysik und Fusionsforschung, Teubner 2003

Wolfram, $T = 10 \text{ keV}$:

$$P_{\text{rad}} \sim 10^9 n_{\text{e},20}^2 f_Z \left[\frac{\text{W}}{\text{m}^3} \right]$$

Lawson-Kriterium mit He-Asche und Verunreinigungsstrahlung

Ladungsneutralität:

$$n_D, n_T = \frac{n_e}{2} (1 - 2f_{\text{He}} - Z f_Z)$$

Gesamt-Zeilchenzahl:

$$n_g = n_e (2 - f_{\text{He}} + f_Z - Z f_Z)$$

Einsetzen in Lawson-Kriterium:

$$n_e \tau_E \geq \frac{6T (2 - f_{\text{He}} + f_Z - Z f_Z)}{(1 - 2f_{\text{He}} - 2f_Z)^2 < \sigma v >_{\text{DT}} E_\alpha - 4 (C_{\text{Br}} Z_{\text{eff}} \overline{G} T^{1/2} + \ell_Z f_Z)}$$

Lawson-Kriterium: Helium Einschluss

Def. Helium-Teilcheneinschlusszeit:

$$\tau_{\text{He}} \equiv \frac{n_{\text{He}}}{\dot{n}_{\text{He}}}$$

Ansatz: $\tau_{\text{He}} = \rho \tau_E$ mit Proportionalitätsfaktor $\rho = \text{const}$

Teilchenbilanz: He-Produktionsrate = He-Transport aus dem Plasma

$$\dot{n}_{\text{He}} = \frac{n_e^2 (1 - 2f_{\text{He}}) \langle \sigma v \rangle_{\text{DT}}}{4} = \frac{f_{\text{He}} n_e}{\rho \tau_E}$$

$$\Rightarrow f_{\text{He}} = \frac{\rho}{4} \frac{n_e \tau_E \langle \sigma v \rangle_{\text{DT}}}{\left(1 + \frac{\rho}{2} n_e \tau_E \langle \sigma v \rangle_{\text{DT}}\right)}$$

Lawson-Kriterium: Arbeitspunkt eines Reaktors

Leistungsbilanz für Selbstheizung:

$$P_{\alpha} \geq P_L + P_{\text{br}} + P_{\text{rad}}$$

Bedingungen:

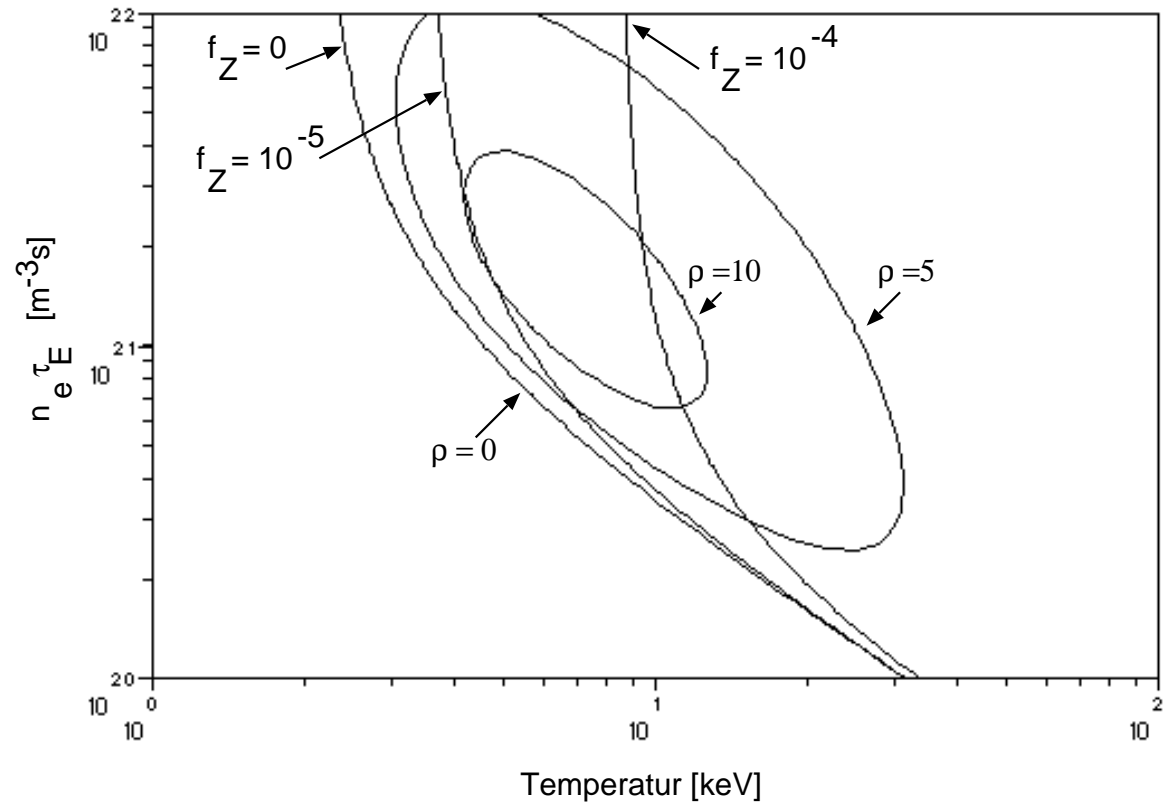
- $n\tau_E \geq 1 \times 10^{21} \text{ m}^{-3} \text{ s}$
- $T(0) \sim 10 \text{ keV}$
- $\rho \equiv \tau_{He}/\tau_E \leq 10$
- $f_Z < 10^{-5}$

Vorgehen:

Betrachten Abhängigkeiten von n , τ_E

Finden alle Parameter als Funktion von R

→ Größe der Maschine



Toroidalfeld

Wähle B_t so groß wie möglich:

- Minimiere $\rho \equiv r_L/a$ (Einschluß)
- Maximiere $\langle p \rangle$ für geg.
 $\beta = 2\mu_0 \langle p \rangle / B^2$ (Stabilität)
- $q(a) > 2$ (s.u.)

Supraleitende Magnete: $B_{\max} \sim 8 \text{ T}$

Toroidalfeld im Vakuum:

$$B(R) = \frac{B_0 R_0}{R}$$

Toroidalfeld am kleinsten Radius:

$$B_{\max} = \frac{B_0 R_0}{R_0 - a} = \frac{B_0 R_0}{R_0(1 - \epsilon)} = \frac{B_0}{(1 - \epsilon)}$$

Typisches Aspektverhältnis: $A = 1/\epsilon = 3$.

$$\Rightarrow B_0 = B_{\max}(1 - \epsilon) \approx \mathbf{5.3 \text{ T}}$$



Arbeitsbereich des Tokamak

Kruskal-Shafranov-Grenze:

Knick-Instabilität

stabil für $q(a) > 2$ (je nach Stromprofil)

$$q_{\text{cyl}}(a) = \frac{a}{R_0} \frac{B_z}{B_\theta} \sim \frac{2\pi}{\mu_0} \frac{a^2 B_z}{R_0 I_{\text{plasma}}}$$

Elongiertes Plasma (Elongation κ):

$$q(a) \sim \frac{2\pi}{\mu_0} \frac{a^2 B_t}{R_0 I_{\text{plasma}}} \frac{1}{2} (1 + \kappa^2)$$

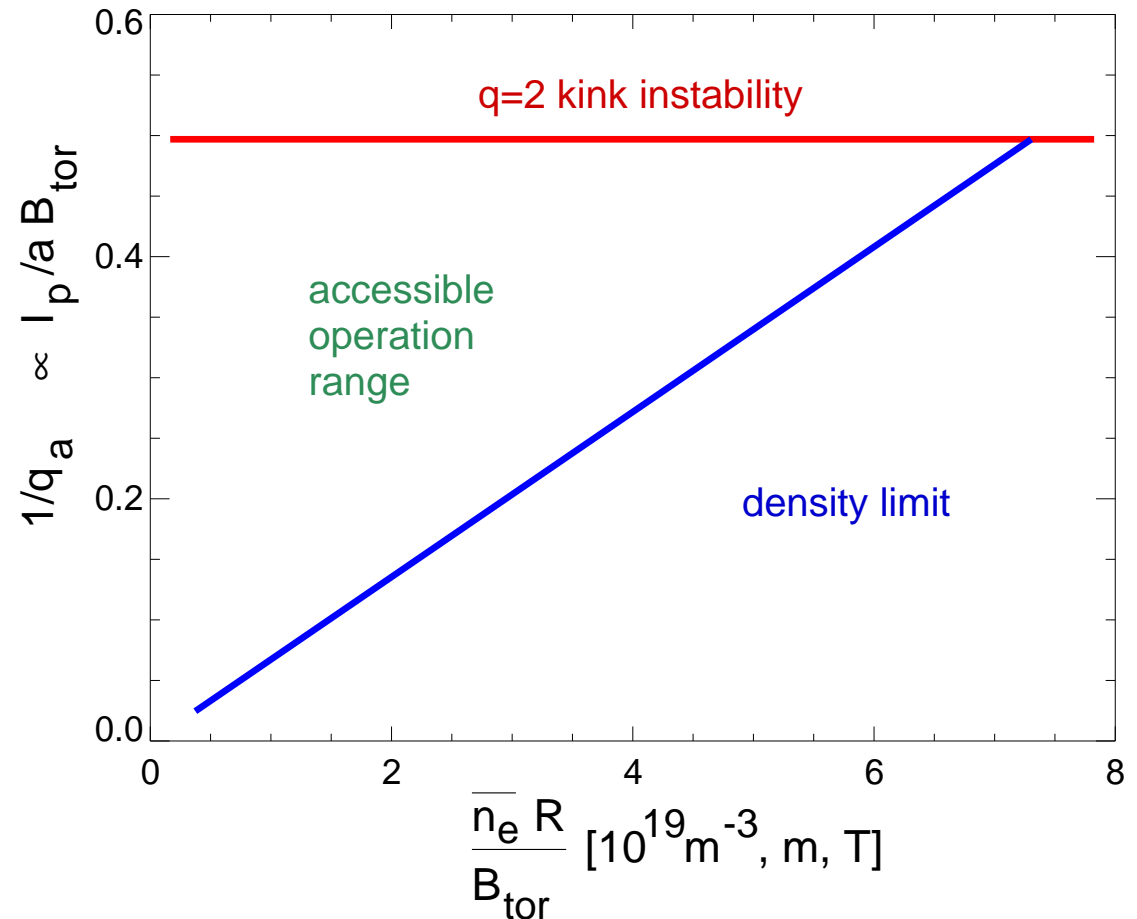
Wünsche maximalen Plasmastrom I_{plasma}

Wähle $q(a)$ für sicheren Betrieb:

$$\text{Z.B. } q(a) = 3 \Rightarrow I_{\text{plasma}} \propto B_t$$

Dichtegrenze: (s. weiter unten)

Hugill-Diagramm:



Toroidaler Plasmastrom

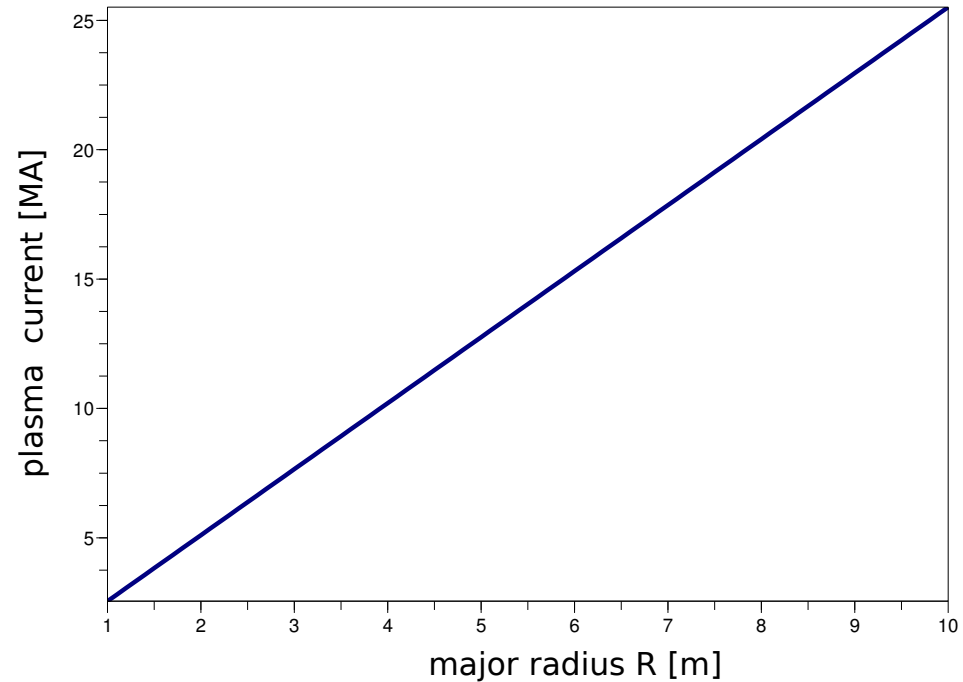
Hohe Elongation κ :

- fördert MHD-Stabilität des Plasmas
- führt zu vertikaler Lageinstabilität, die ausgeregelt werden muss.

Praktische Wahl: $\kappa = 1.7$

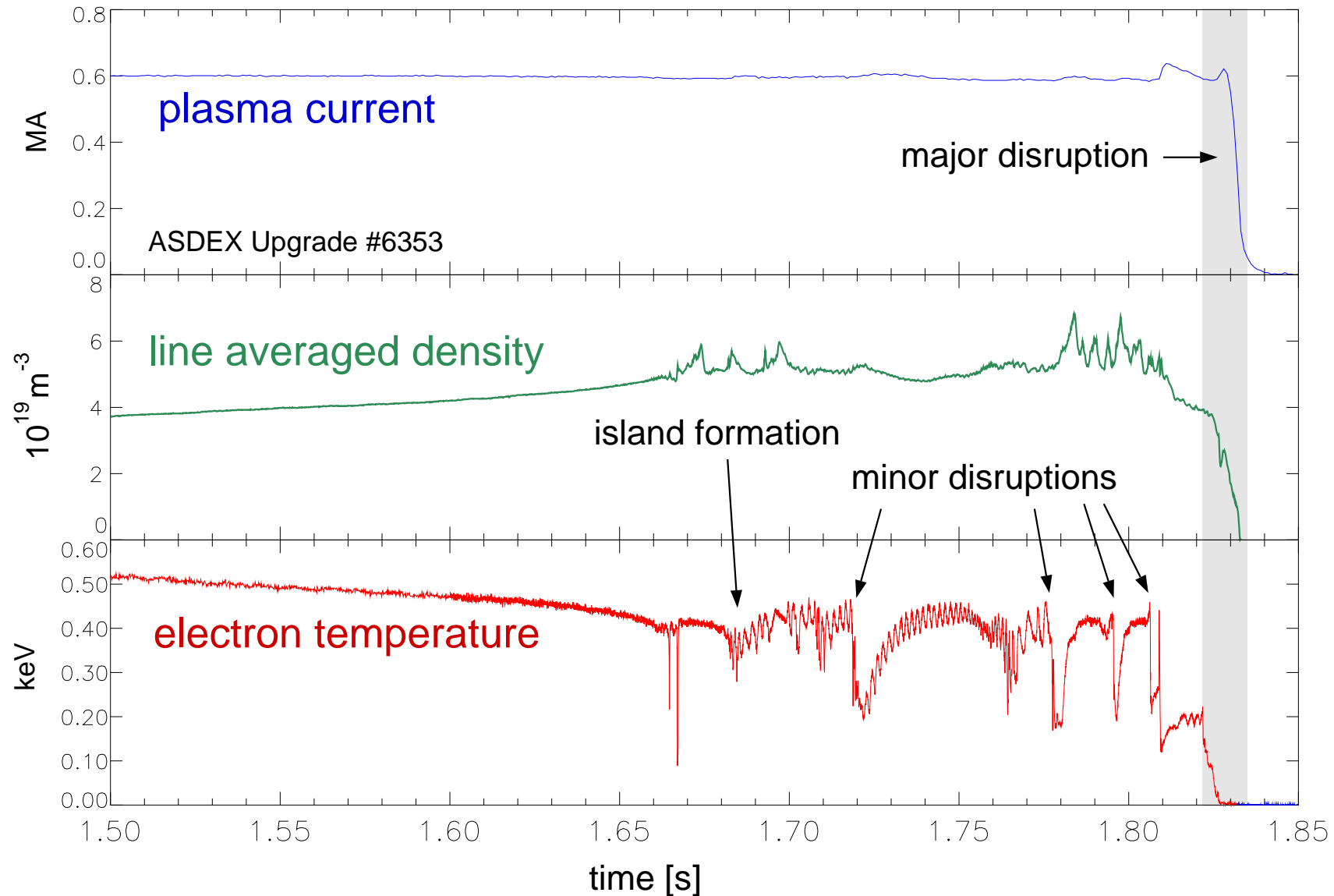
$$I_{\text{plasma}} = 6.64 \frac{B_t}{q(a)} \frac{R_0}{A^2} \frac{1}{2} (1 + \kappa^2)$$

(MA, T, m)

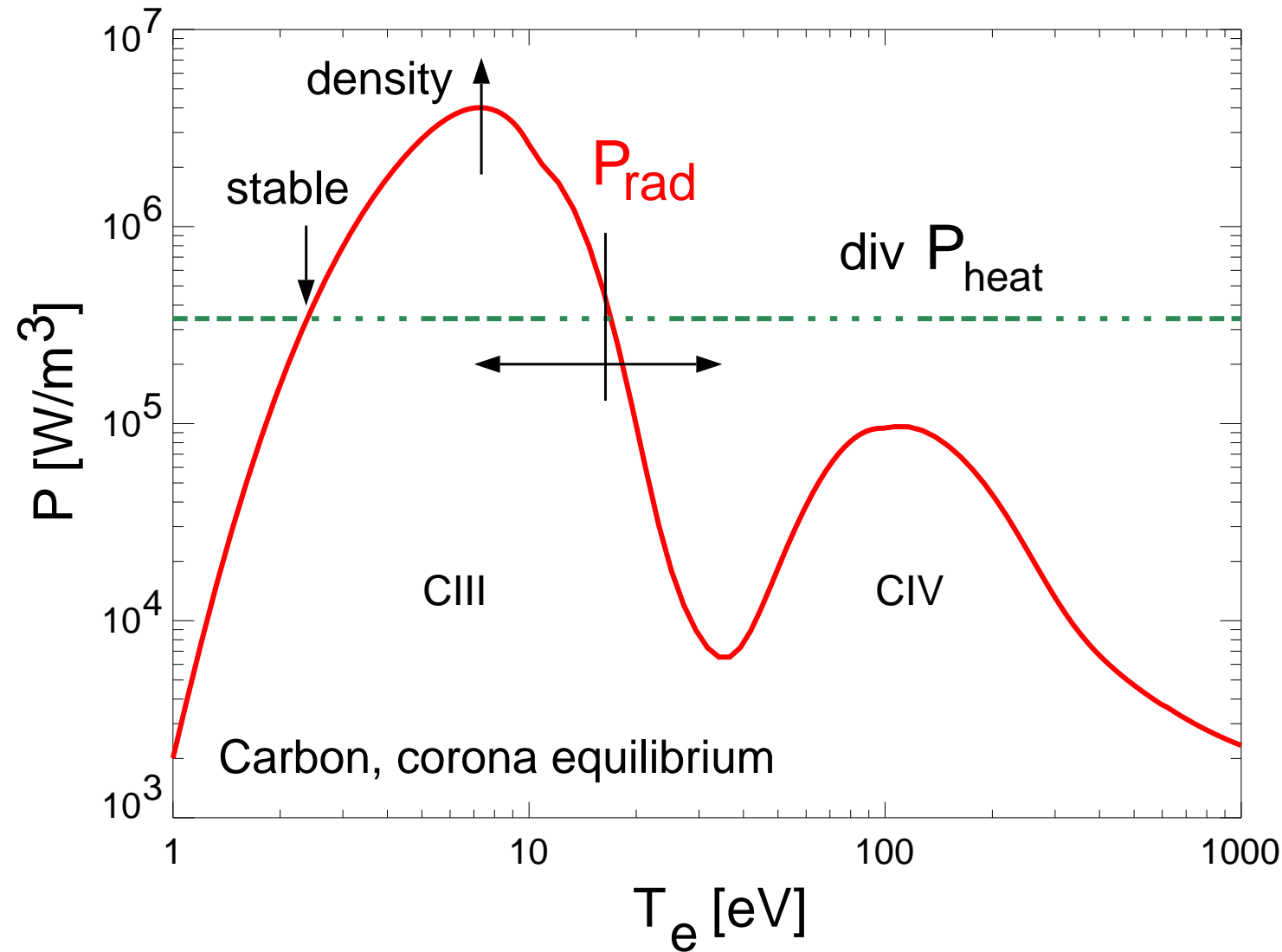


Dichtegrenze

Beispiel eines Tokamak-Plasmas an der Dichtegrenze:



Strahlungsleistungsparameter Kohlenstoff (Korona-Gleichgewicht)



Stationäre Leistungsbilanz: $P_{\text{rad}} + P_L = P_{\text{heat}}$,

Strahlungsinstabilität für $dP_{\text{rad}}/dT < 0$!

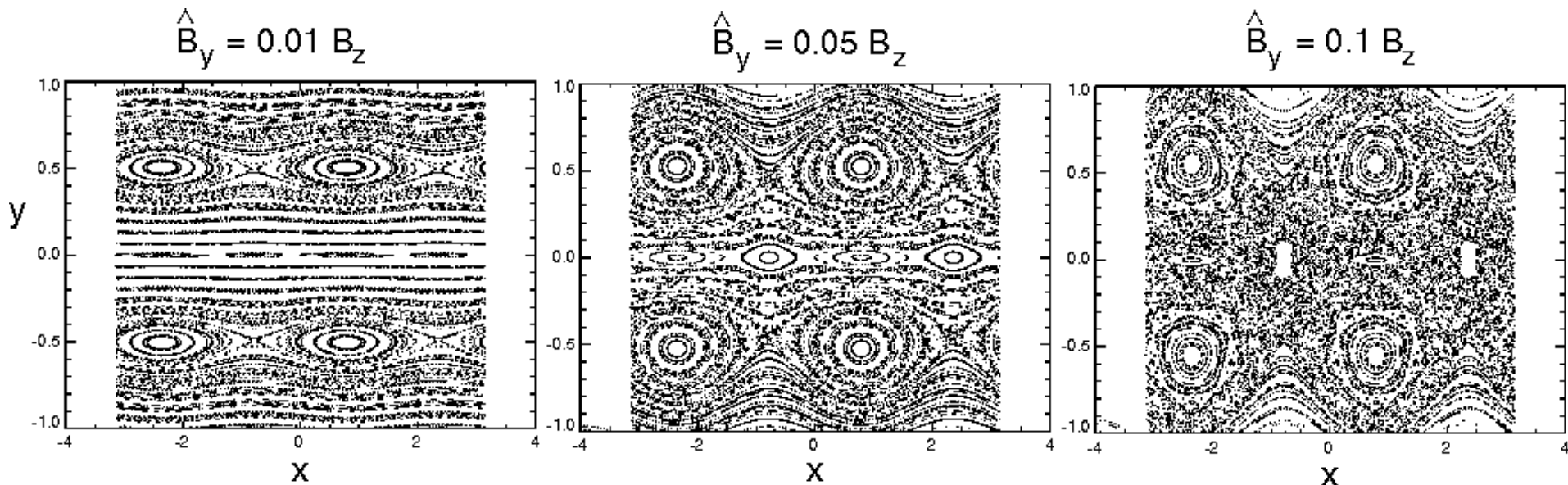
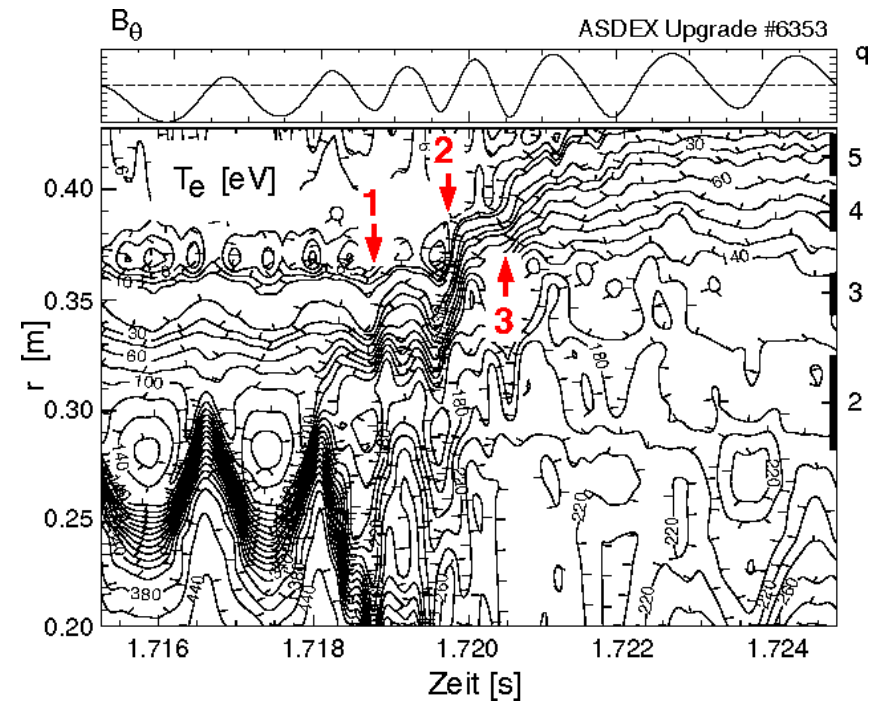
Magnetische Inseln an der Dichtegrenze

Abkühlung des Plasmas auf sehr niedrige Temperatur
führt zur Bildung von magnetischen Inseln
(Magnetfeld-Topologie-Änderung) an Flächen mit
rationalem q .

Wachsende Inseln “überlappen” und führen zur
Stochastisierung des magnetischen Feldes = radialer
Diffusion von Magnetfeldlinien.

Erhöhter radialer Transport entlang \vec{B} bewirkt
Einschlußverlust

→ Plasma kann Strom nicht mehr führen (Disruption).



Skalierung der Dichtegrenze

Empirische Dichtegrenze:

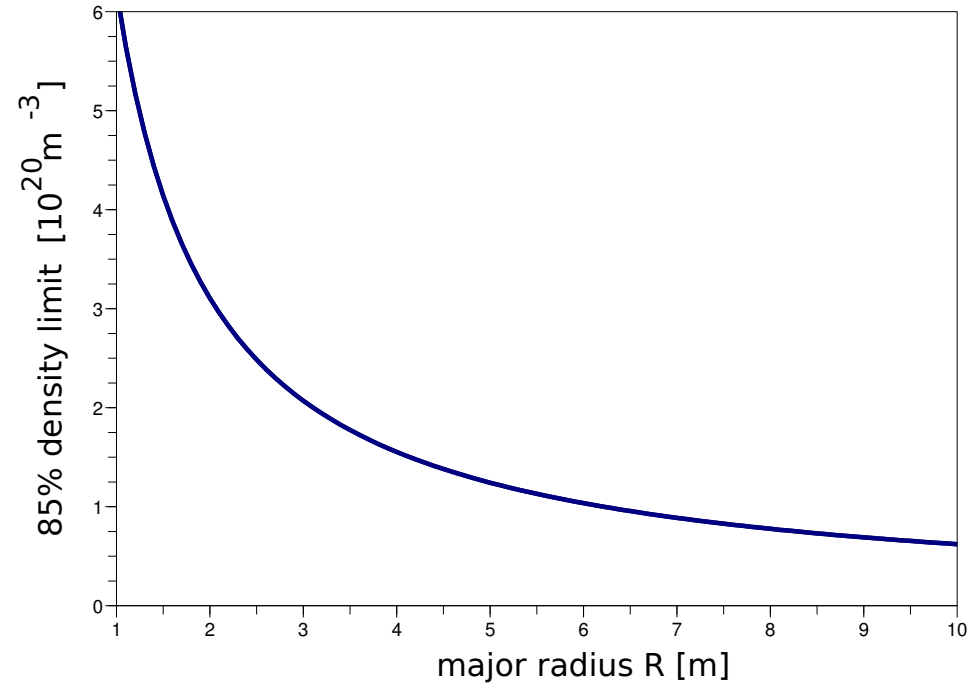
(“Greenwald limit”)

$$n_{GW} = \frac{I_{\text{plasma}}}{\pi a^2} = \frac{I_{\text{plasma}} A^2}{\pi R_0^2} = j_{\phi} \kappa$$

(10^{20} m^{-3} , MA, m, MA/m²)

Wähle Sicherheitsabstand:

$$n_e = 0.85 n_{GW}$$



Benötigte Einschlußzeit

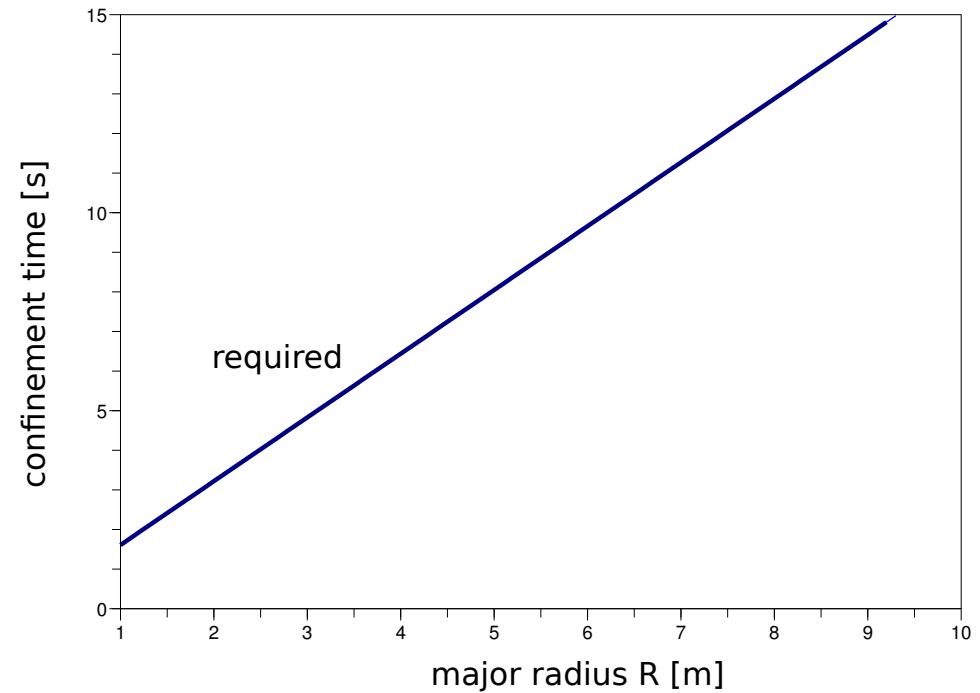
Lawson-Kriterium:

$$n_e \tau_E \geq 1 \times 10^{21} \text{ m}^{-3} \text{ s}$$

Dichte nahe Dichtegrenze: $n_e \propto 1/R_0$

\Rightarrow Benötigte Einschlußzeit:

$$\tau_E \propto R_0$$



Benötigte Heizleistung

Energie-Einschlußzeit: $\tau_E = W_{kin}/P_L$

$$W_{kin} = \frac{3}{2} \int (p_e + p_i) dV \sim 3 \int n_e k_B T dV \sim 0.24 V n_e$$

(MW, m², 10²⁰ m⁻³)

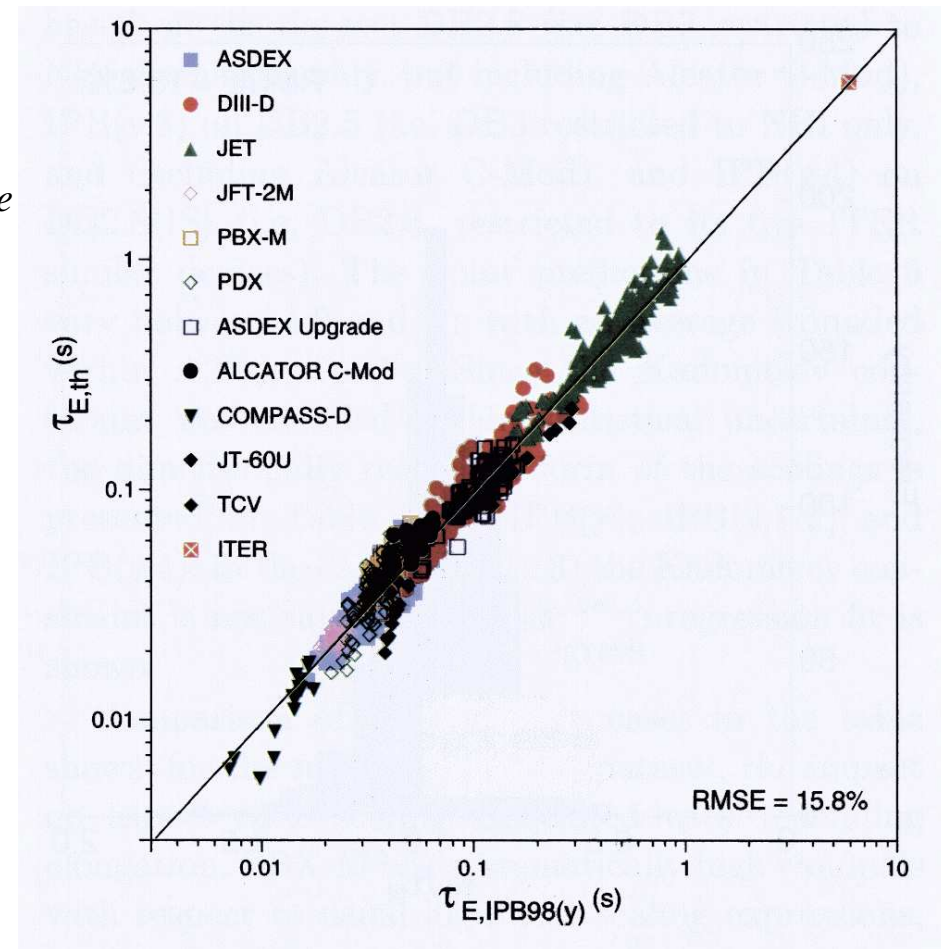
für $T = 10$ keV, bis auf Profilformfaktor

Empirische τ_E Skalierung (IPB98(y)):

$$\tau_E = 0.0365 I_{\text{plasma}}^{0.97} B_t^{0.08} P_L^{-0.63} n_e^{0.41} \\ \times M^{0.2} R_0^{1.93} \epsilon^{0.23} \kappa^{0.67}$$

(s, MA, T, MW, 10¹⁹ m⁻³, m)

$$P_L = \frac{W_{kin}}{\tau_E(P_L)}$$



ITER Physics Base

Nucl. Fus. **39** 2175 (1999)

Leistungsbilanz

Benötigte Heizleistung:

$$P_{\text{heat}} = P_L + P_{\text{brems}} + P_{\text{rad}}$$

Aus Einschlusskalierung:

$$P_L = 365.16 W_{\text{kin}}^{2.703} I_{\text{plasma}}^{-2.622} n_e^{-1.108} R_0^{-5.22} B t^{-0.216} A^{0.622} \kappa^{-1.81}$$

(MW, MJ, MA, 10^{20} m^{-3} , m, T)

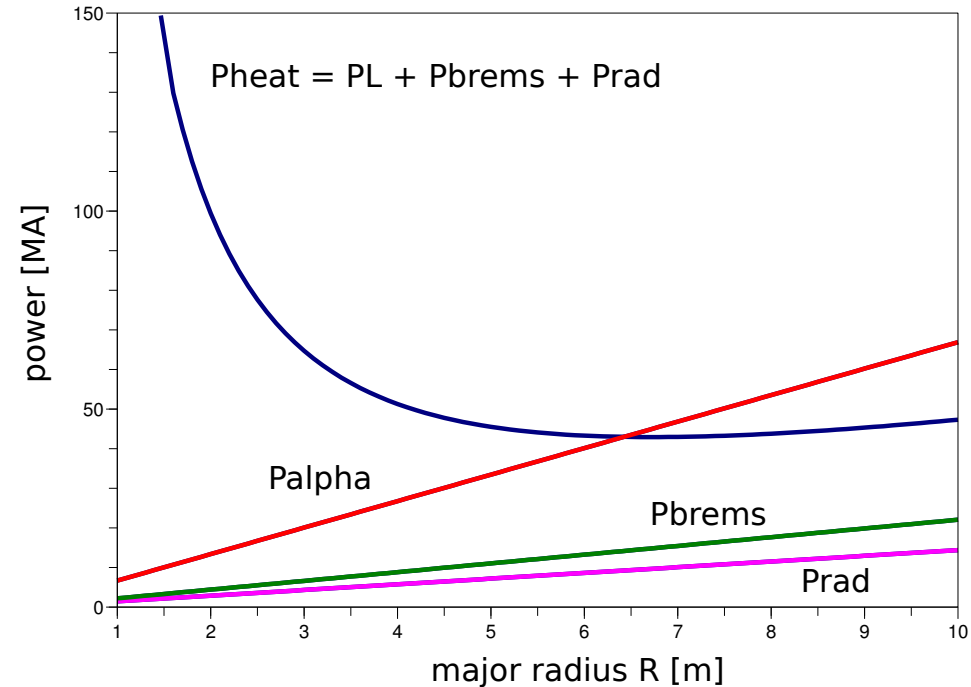
α -Teilchen-Heizung:

$$P_{\alpha} = 0.3 V \times 0.62 n_D n_T$$

(MW, m^3 , 10^{20} m^{-3})

Ann.:

Volumen $0.3 V$ trägt effektiv zur Heizung bei.



Benötige $R_0 > 6$ m für Selbstheizung (“Zündung”)

Neutronenleistung: $P_n = 4P_{\alpha} \geq 200$ MW

“Energieverstärkung”: $Q \equiv (P_{\alpha} + P_n)/P_{\text{heat}}$

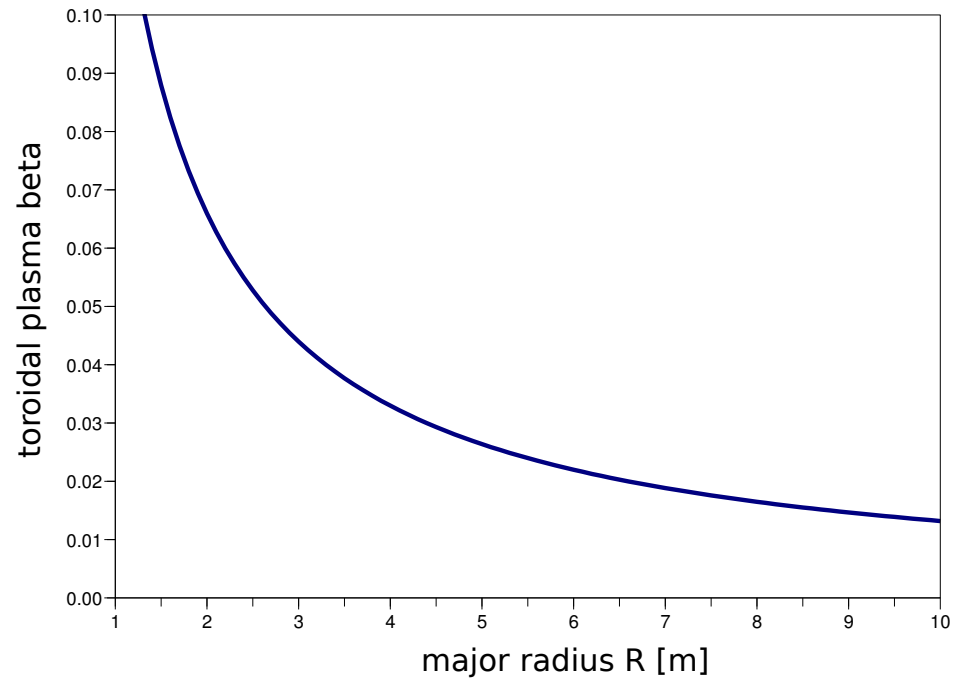
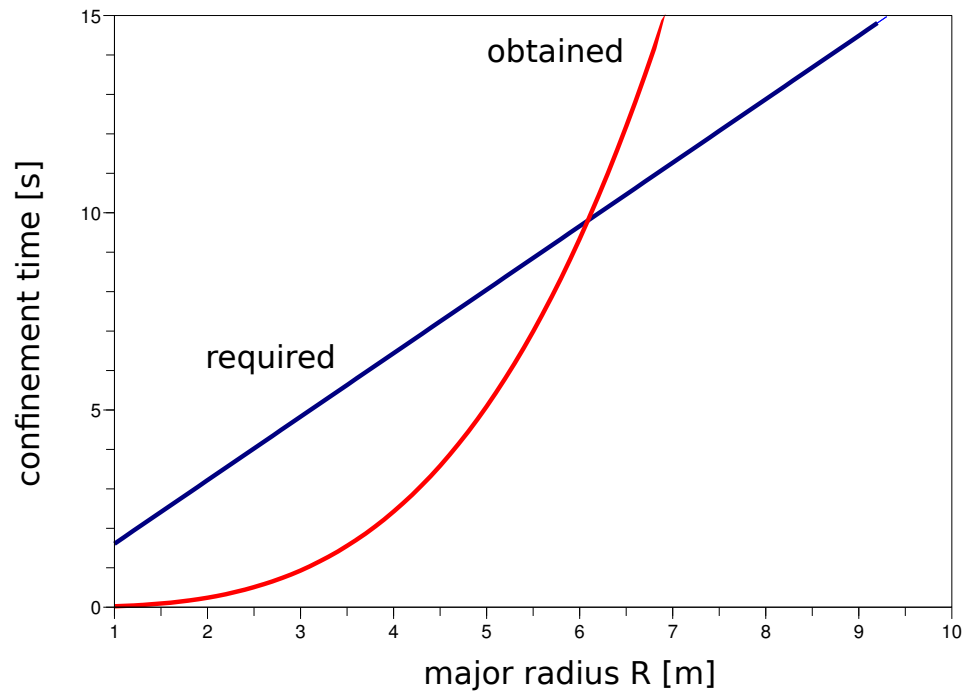
Zum Start ($P_{\alpha} = 0$) $P_{\text{aux}} = 50$ MW Zusatzheizung

Einschlußzeit, Plasma- β

Einschlußzeit, benötigt für Zündung
vs. Skalierung
($I_{\text{plasma}}, B_t, n_e, \kappa, \varepsilon$ gegeben)

Toroidales Plasma-Beta:

$$\beta_t = \frac{2\mu_0 \langle p \rangle}{B_t^2}$$



Zusammenfassung

- Aus grundsätzlichen (0-D) Überlegungen lässt sich die Größe und Leistung eines Tokamak-Fusionsreaktors ablesen:
Lawson-Zündkriterium ($n_e \tau_e$), Supraleitende Magnetfeldspulen (B_t),
Kruskal-Shafranov-Grenze ($q(a), I_{\text{plasma}}$), Empirische Dichtegrenze (n_e), Empirische Einschlußzeitskalierung (P_L)
- Daraus folgt ein Mindestradius von ca. $R = 6$ m (großer Radius) für die Zündung.
Entsprechend: $P_\alpha \geq 50$ MW, $P_{\text{fus}} \geq 200$ MW, $\beta_t \sim 2\%$